

# کارآئی مانع‌های صوتی با استفاده از سطوح پخش کننده شیار دار

دکتر محمد رضا منظم<sup>۱</sup>

## چکیده

**زمینه و هدف:** مانع‌های صوتی یکی از موثرترین روشهای کنترل صدا برای آلودگی‌های صوتی محیطی و همچنین کنترل سر و صدا در صنایع می‌باشد. اساساً مانع صوتی از انتقال مستقیم موج صوتی توسط منبع صوتی به گیرنده جلوگیری بعمل می‌آورد. اگر ساختار مانع صوتی بخوبی طراحی شود، موج صوتی فقط از راههای غیر مستقیم میتواند به گیرنده منتقل شود.

**روش بررسی:** بر اساس اطلاعات قبلی از مدل‌های مختلف مانع‌های صوتی و تاریخچه توسعه آنها، نتایج یک تحقیق کستردۀ درباره کارآئی مانع‌های صوتی با اشکال T, Y, Arrow (پیکان) و Cylinder (استوانه ای) مجهز به پخش کننده‌های صوتی «Quadratic Residue Diffuser QRD» در این مقاله ارائه می‌گردد. برای محاسبه افت صدا در این تحقیق از یک روش شبیه‌سازی دو بعدی حد مرزی (BEM) استفاده گردیده است.

**یافته‌ها:** نتایج بدست آمده از مانع‌های شیار دار (QRD) با مانع‌های سخت (صلب یا سطوح کاملاً منعکس کننده) و همچنین جاذب دار مقایسه گردیده اند. روش ساده و سریع جعبه‌های با امپدانس متغیر در مدل شبیه‌سازی مورد استفاده قرار گرفته و نتایج آن در مقایسه با روش استاندارد مدل‌سازی تمام سطوح در یک باند فرکانسی وسیع باقت بالائی گزارش گردید. مانع‌های T و پیکان شکل کارآئی بهتری را نسبت به سایر اشکال مانع‌های صوتی ایجاد کردند. همچنین مشخص گردید که بهترین شکل برای استفاده از سطوح شیار دار (QRD) مانع T شکل است.

**نتیجه گیری:** نتایج این تحقیق همچنین نشان میدهد که اگر فرکانس طراحی سطوح پخش کننده صوتی (QRD) پایین آورده شوند، کارآئی مانع صوتی شیار دار نیز در فرکانس‌های پایینتر بهبود پیدا خواهد کرد. بنابر این در بین مدل‌های تست شده بهترین مانع صوتی برای کنترل سر و صدای ترافیک یک دیوار T شکل شیار دار با فرکانس طراحی ۴۰۰ هرتز می‌باشد.

**کلید واژه‌ها:** مانع‌های صوتی، مانع‌های شیار دار (QRD)، روش حد مرزی (BEM)

## اولین گروه از محققین با استفاده از افزایش فاصله

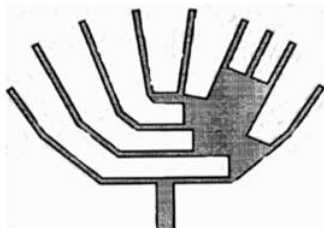
غیر مستقیم بین مانع و گیرنده، میزان قابل قبولی به کارآئی مانع‌های صوتی افزودند. عنوان مثال Hothersall در سال ۱۹۹۱ با افزایش ارتفاع مانع از ۳ متر به ۵ متر توانست ۳۰.۸ دسی بل به کارآئی آن بیافزاید (۱). همچنین Watts در سال ۱۹۹۴ مانع‌های صوتی چندگانه را معرفی کرد و نتیجه گرفت که وقتی دو مانع در فاصله ۸ متری یکدیگر قرار گیرند میتوانند به میزان ۳۰.۶ دسی بل کارآئی مانع صوتی ساده را

## مقدمه

امروزه مانع‌های صوتی یکی از موثرترین روشهای کنترل سر و صدای محیطی ناشی از عواملی همچون ترافیک شهری، قطار و هوایپما و ... در سرتاسر دنیاست. تا کنون در پژوهه‌های متعدد تحقیقات زیادی بمنظور افزایش کارآئی مانع‌های صوتی بعمل آمده است. سیر تکاملی این دسته از روشهای کنترل صدرا میتوان در سه دسته بشرح زیر خلاصه کرد.

کرد. در این ارتباط Crombi و همکارانش در سال ۱۹۹۵ ثابت کردند که با اضافه کردن یک لبه ۱.۵ متری در فاصله یک متری لبه بالائی دیوار بمیزان ۲۰.۶ دسی بل میتوان به کارآئی مانع افزود(۵). بهترین مثال برای مانعهای افعالی صوتی مانعی است که توسط Fujiwara در سال ۱۹۹۸ طراحی شد(شکل ۱). این مانع کارائی بسیار خوبی در بسیاری از فرکانسها را صوتی مخصوصاً فرکانسها میانی صوتی از خود نشان میدهد(۶). البته این روش قابلیت بهینه سازی و طراحی بسیار ضعیفی دارد چون مبنای طراحی آن بر اساس تجربه و خطاست و روش ریاضی خاصی در این مورد ارائه نگردیده است.

شکل ۱- سطح مقطع یک بعدی از مانع راکتیو طراحی شده توسط Fujiwara



## Fujiwara's Reactive Barrier

لازم بذکر است که عده محدودی از محققین هم به روش بهینه سازی در صدد افزایش کارآئی مانعهای صوتی برآمدند که در این زمینه Thorsson در رسالهای ۲۰۰۳ و ۲۰۰۴ نتایج تئوری خوبی بدست آورد ولی متناسفانه نتایج بدست امده با مواد وسطوح واقعی مطابقت نداشتند و بهمین دلیل قابل استفاده در کاربردهای عملی نیستند (۷ و ۸). اگر چه دورنمای بسیار خوبی برای تحقیقات بیشتر در این زمینه محسوب می‌گردد.

بر اساس تجربیات بدست آمده از تحقیقات گروههای قبلی این تحقیق در نظر دارد که افق تازه‌ای را برای طراحی مانعهای صوتی با کارآئی بالا با استفاده از پخش کننده‌های صوتی (QRD) بگشاید. سطوح مورد استفاده قابلیت محاسبه و طراحی داشته و مدارک فراوانی از عملکرد پخش کنندگی بسیار خوب آنها در استودیوهای صوتی؛ آمفی تاترها و سالنهای سینما در دست است. در واقع این پخش کننده‌ها بکسری سطوح شیار دار با عمقهای متفاوت هستند که

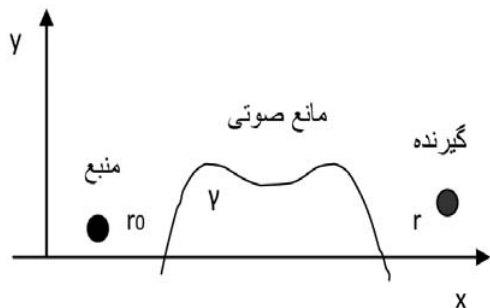
افزایش دهند(۲). May در سال ۱۹۸۰ مانعهای عریض را معرفی کرد و میزان ۳۰.۱ دسی بل افزایش کارائی را با یک دیوار به ضخامت ۲۰.۴۴ متر اندازه‌گیری نمود(۳). پر واضح است که تمام تلاشهای انجام شده در این مسیر دارای مشکلات کاربردی، زیبائی شناسی و همچنین هزینه بالاست. شاید به همین دلیل است که این روشها امروزه آنچنان مرسوم نمی‌باشند.

دسته دوم از تلاشهای انجام شده برای بهبود کارآئی مانعای صوتی بر اساس تغییر در شکل و فرم و جنس سطوح بالائی دیوارهای است. در این روش موج شکست از آخرین گوشه مانع با استفاده از مواد جاذب صوتی جذب شده و یا اینکه با استفاده از لبه های متعدد بر اساس اصل عکس مجاز فاصله از انرژی آن کاسته میگردد. این روشها تا کنون موفقیت‌های زیادی را بدنبال داشته است و در این زمینه میتوان از مانعهای به شکل T، Y، (Arrow) پیکان شکل، استوانه ای (Cylinder) شکل و همچنین استفاده از مواد جاذب در سطوح فوقانی مانع را نام برد. بعنوان مثال Hothersall نشان داد که یک مانع صوتی بشکل T با لبه بالائی با طول بازوی  $2.044$  متر میتواند بمیزان  $4.2$  دسی بل به کار آئی مانع صوتی بیافزاید<sup>(۴)</sup>. همچنین این محقق نشان داد که استفاده از مواد جاذب در سطوح بالائی همین دیوار به میزان  $5.9$  دسی بل به کار آئی مانع صوتی میافزاید. گرچه این دسته از تحقیقات تحول عظیمی در طراحی مانعهای صوتی با کارآئی بالا ایجاد نموده ولی هر کدام بتنهای مشکل کاربردی خاصی داشته که مانع از گسترش وسیع کاربردهای عملی آنها گردیده است. بعنوان مثال استفاده از مواد جاذب بیشترین تاثیر روی افزایش کارآئی این دسته از روشهای کنترل صدا دارد ولی در کاربردهای عملی تقریباً استفاده از آن غیر ممکن است.

سومین گروه از محققین با الهام از نتایج تحقیقات گروههای قبلی در صدد بهبود کارآئی منعهای صوتی با استفاده از تئوریهای نوین صوتی برآمدند. در این دسته عمده تئوریهای مورد استفاده عبارتند از کاهش هم فازی صوتی و خنثی سازی انفعالی (راکتیو) امواج صوتی که عمدتاً در لبه بالائی دیوارچه بصورت طولی و یا بصورت عرضی مورد استفاده قرار میگیرند. در این خصوص مثالهای بسیار زیادی وجود دارد که از آن حمله مبتداً به مانهای جند گوش ای اشاره

انجام خواهد گرفت در شکل ۳ نشان داده شده است. محور  $x$ ها منطبق بر زمین، محور  $y$ ها عمود بر سطح زمین و سطح مقطع مانع صوتی روی زمین میباشد.

شکل ۲- مدل دو بعدی شبیه سازی



اگر یک منبع خطی تک فرکانس در نقطه  $(x_0, y_0)$  استقرار یابد، در نقطه  $(x, y) = r = \sqrt{(x-x_0)^2 + (y-y_0)^2}$  فشار صوت برابر  $p(r, r_0)$  خواهد بود. در این مدل مانع صوتی که بطول بینهایت روی زمین سفت واقع شده بگونه ای که شرایط اکوستیکی در طول مانع بدون تغییر خواهد ماند. بنابر این میتوان این مدل را به جای سه بعدی به شرایط دو بعدی کاهش داد. در این شرایط محور  $z$  موافق با محور طولی مانع خواهد بود. لازم بذکر است که در این متادامپدانس آکوستیکی ( مقاومت آکوستیکی ) سطوح با تغییر زاویه تابش تغییر نخواهند کرد ( اصطلاحاً سطوح Locally reacting ) ادمیتانس ( عکس امپدانس ) سطحی ویژه در نقطه  $r_s = (x_s, y_s)$  را  $\gamma(r_s)$  خواهد بود.

در این متادامپدانس هم هولتز بوسیله معادله انتگرال سطحی ( Boundary Integral Equation ) در هر فرکانس بطور مجزا حل میشود. به این منظور سطح مانع به تعدادی پاره خط بطولهای:

$$\gamma_1, \gamma_2, \dots, \gamma_n, \dots, \gamma_N$$

تقسیم میشوند. طول پاره خط ها به اندازه ای در نظر گرفته میشوند که بتوان فشار صوتی  $p(r_n, r_0)$  در وسط پاره خط  $(r_n)$  را در طول پاره خط یکسان در نظر گرفت. لذا در این تحقیق طول پاره خط ها (المنت ها) کمتر از  $5\lambda/5$  در نظر گرفته شده تا بتوان شرط یکسان بودن فشار صوتی در طول المنت را با تقریب بالائی تأمین نمود ( ۱۰ ). لازم بذکر است هر چه طول المنت ها کوچکتر انتخاب شوند دقت نتایج بالاتر خواهد بود. با

ترتیب قرار گیری آنها بر اساس حداقل باقیمانده توان دوم اعداد اول میباشد ( QRD Sequence ) مخفف Quadratic Residue بوده و این سطوح به همین نام تجاری معروف میباشد. این سطوح اولین بار توسط Schroeder در سال ۱۹۷۵ معرفی و بسرعت روش های محاسبه و طراحی آنها مورد تحقیق قرار گرفت و بطور اعجاب انگیزی در سرتاسر دنیا در سالهای سریع است به برآورده بود کیفیت صدا مورد استفاده روز افزون قرار گرفتند ( ۹ ). در این مدل امواج تابشی وارد هر شیار شده و پس از برخورد به ته شیار منعکس می گردند. موج های انعکاسی در سطح بالائی دارای اختلاف فاز بوده که این اختلاف فاز را هم مدیون اختلاف مسیر پیموده شده در یک رفت و برگشت می باشند. میزان پخش کنندگی هر دسته از این پخش کننده ها بستگی به میزان اختلاف فاز امواج وارد به سطح دارد. Schroeder ثابت کرد که سطوح شیار دار با ترتیب قرار گیری ذکر شده میتوانند یک سطح موج تقریباً یکنواخت را در مقابل پخش کننده ایجاد نمایند. تا کنون این سطوح در کاربردهای محیطی بمنظور کنترل صدا مورد بررسی قرار نگرفته اند که این تحقیق اولین گام در زمینه استفاده از این پخش کننده ها در کنترل سر و صدای محیطی بشمار می رود. شکل شماره ۲ یک نمونه شماتیک مانع راکتیو ( پخش کننده شیار دار ) معرفی شده در این پژوهش را نشان می دهد.

شکل ۲- سطح مقطع یک مانع T شکل شیار دار ( QRD )

QRD barrier



### روش بورسی

در این تحقیق روش شبیه سازی دو بعدی از نوع ( BEM ) Boundary Element Method مورد استفاده قرار گرفته است. شرایطی که در آن محاسبات



توجه به فرضیات فوق معادله انتگرال به شکل زیر خلاصه می‌شود.

(1)

$$\varepsilon(\mathbf{r}) p(\mathbf{r}, \mathbf{r}_0) = G(\mathbf{r}_0, \mathbf{r}) + \sum_{n=1}^N p(\mathbf{r}_n) \int \left( \frac{\partial G(\mathbf{r}_s, \mathbf{r}_n)}{\partial n(\mathbf{r}_s)} - ik\beta(\mathbf{r}_s)G(\mathbf{r}_s, \mathbf{r}) \right) ds(\mathbf{r}_s)$$

(r.) نشاندهند طول هر پاره خط و k عدد موج (نسبت طول موج به سرعت صوت) است. (r.) یک ضریب ثابت است که با توجه به محل استقرار گیرنده تعیین می‌گردد. به استثناء مواردی که گیرنده روی مانع صوتی است در تمام حالات (r.) مساوی یک است. وقتی گیرنده روی سطح مانع است و بالهای مانع دارد (r.) مساوی  $\frac{1}{5}$  و وقتی که گیرنده در بالهای مانع شود مساوی  $\frac{1}{2\pi}$  است ( $\Omega$ ) زاویه فضائی است).

فرمولهای تجربی Delany and Bazley محاسبه گردیده (11) و محاسبه امپدانس اکوستیکی در بالای سطوح شیار دار با استفاده از فرمول زیر بوده است (12).

$$Z_{ch} = j \cot(kl) \quad (3)$$

"ا" عمق شیار است

بمنظور جلوگیری از تداخل اثرات تصویر منبع صوت در انعکاس امواج؛ منبع صوتی روی سطح زمین صلب در فاصله ۵ متری از مانع قرار گرفت. و نهایتاً فشار صوتی در مراکز فرکانس‌های  $1/15$  اکتاو باند بین ۵۰ تا  $4000$  هرتز در محل گیرندهای مختلف اندازه‌گیری شده و کارآئی مانع بر حسب افت صدا (Insertion Loss) با استفاده از فرمول زیر محاسبه گردید.

$$IL = -20 \log_{10} \left| \frac{p(\mathbf{r}, \mathbf{r}_0)}{G(\mathbf{r}, \mathbf{r}_0)} \right| \text{ dB} \quad (4)$$

### مدلهای مورد استفاده در پژوهش

مدلهای مورد استفاده در این تحقیق در شکل شماره ۴ ارائه گردیده‌اند. ارتفاع تمام شده کلیه مانع‌های مورد بررسی ۳ متر بوده که با ارتفاع مانع‌های صوتی Fujiwara (6) یکسان هستند. در تمامی مدلها ضخامت پایه و لبه بالائی دیوار بترتیب  $1/0$  و  $0/3$  متر می‌باشد. طول بازوی رف بالائی مانع T شکل ۱ متر، قطر استوانه (Cylinder) ۱ متر و هر طرف از لبه بالائی مانع‌های L و پیکان شکل نیز ۱ متر می‌باشد.

همانطور که از معادله ۱ دیده می‌شود انتگرال فوق در روی سطح گرفته شده که نکته تمیز دهنده این FEM (Finite Element Method) روش از روی انتگرال روی حجم گرفته می‌شود لذا مدل‌سازی آن معمولاً مستلزم صرف وقت و هزینه بسیار بالا است.

(گرین فانکشن)  $G(\mathbf{r}, \mathbf{r}_0)$  فشار صوتی در نقطه  $\mathbf{r}$  در اثر منبع صوتی  $\mathbf{r}_0$  است در شرایطی که مانع صوتی حضور ندارد.

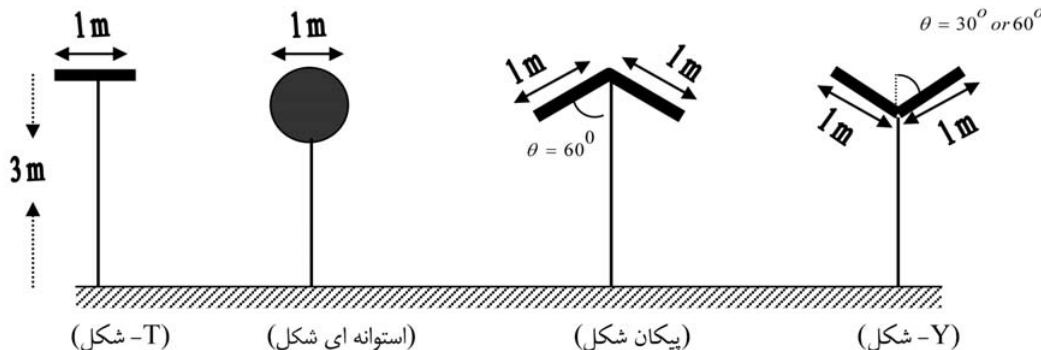
(2)

$$G(\mathbf{r}, \mathbf{r}_0) = -\frac{i}{4} \left\{ H_0^{(1)}(k|\mathbf{r}_0 - \mathbf{r}|) + H_0^{(1)}(k|\mathbf{r}'_0 - \mathbf{r}|) \right\}$$

$\mathbf{r}'_0 = (x_0, -y_0)$  مختصات تصویر منبع صوتی در زمین است. (H0) هانکل فانکشن نوع اول و ترتیب صفر است. در این مدل معادله (1) برای محاسبه فشار صوتی در محل گیرنده مورد استفاده قرار می‌گیرد. در این تحقیق بمنظور کاهش تعداد المنتهای مورد نیاز و همچنین سرعت بخشیدن به محاسبات بجای سطوح واقعی شیارها از سطوح فرضی هموار با خصوصیات اکوستیکی معادل استفاده شد. بعبارتی سطوح شیار دار در پخش کننده صوتی بصورت جعبه‌هایی با امپدانس‌های اکوستیکی متفاوت در نظر گرفته شدند که روش بسیار خوبی برای شبیه‌سازی این سطوح تا بالاترین فرکانس موثر پخش کننده صوتی بشمار می‌روند. البته تست لازم در این خصوص نیز عمل آمده که نتایج آن در قسمتهای بعدی خواهد آمد.

امپدانس اکوستیکی مواد جاذب با استفاده از

شکل ۴- سطح مقطع مانعهای صوتی با اشکال مختلف



شده‌اند. این ضخامت معادل بیشترین عمق شیارها در مانعهای شیاردار QRD می‌باشد. ضمناً سطح ماده جاذب نیز باندازه سطح کلی QRD خواهد بود. مانعهای شیاردار (QRD): در این دسته از مانعها سطوح فوقانی مانعهای مورد اشاره در شکل ۴ با استفاده از سطوح شیار دار (QRD) پوشانده شده‌اند. تمامی QRD‌ها دارای طول کلی یکسان هستند گرچه که طراحی آنها از نظر تعداد شیار، عمق و عرض شیار متفاوت خواهد بود. درواقع طراحی‌های مختلف مورد استفاده قرار گرفته‌اند تا تاثیر فاکتورهای مختلف اکوستیکی پخش کننده‌ها صوتی

زاویه شاخه‌های مانع مدل پیکان ثابت و برابر ۶۰ درجه است در صورتی که برای مدل Y-شکل دو زاویه ۳۰ و ۶۰ درجه تست شده‌اند.

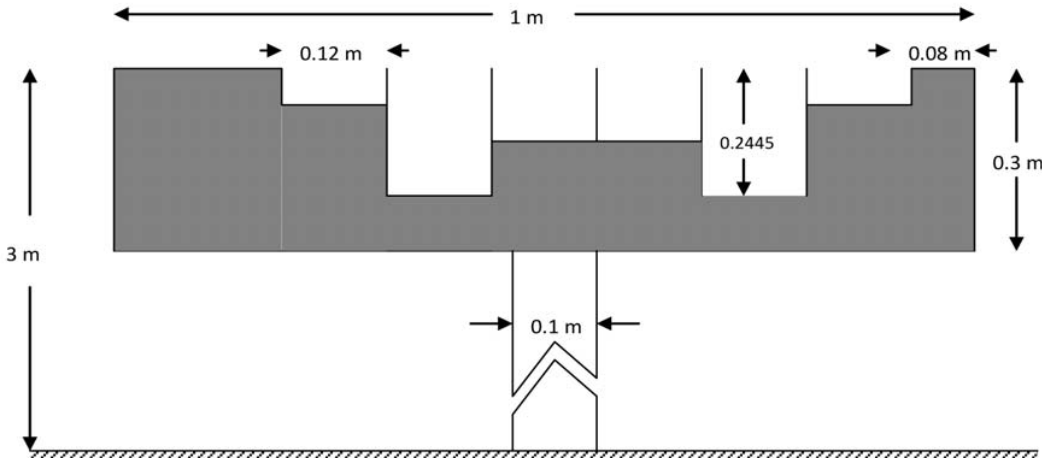
در مدل‌های فوق سه سطح فوقانی مختلف شامل سفت (صلب)، جاذب و QRD (شیاردار) مورد بررسی قرار می‌گیرند.

سطح سفت (صلب): در این دسته کلیه سطوح دارای ادمیتانس صفر می‌باشند.  
سطح جاذب: در این دسته لبه بالائی مانع با استفاده از مواد جاذب با مقاومت شاره‌ای 20,000 Ns/m<sup>4</sup> و ضخامتی معادل ۰/۲۴۵ متر پوشانده

جدول ۱- خصوصیات و جزئیات طراحی مانعهای شیار دار مورد استفاده در تحقیق

مدل	سطح مقطع	تعداد QRD	فرکانس طراحی fr (kHz)	عرض شیار w (cm)	توضیحات
A	T	۱	۱	۱۲	-
B	T	۲	۱	۶	-
C	T	۶	۱	۲	-
D	T	۱	۰/۵	۱۲	-
E	T	۲	۰/۵	۶	-
F	T	۶	۰/۵	۲	-
G	T	۱	۰/۴	۱۲	-
H	T	۲	۰/۴	۶	-
I	T	۶	۰/۴	۲	-
L	پیکان شکل	۲	۰/۵	۱۲	* $\theta = 60^{\circ}$
M	پیکان شکل	۲	۰/۴	۱۲	$\theta = 60^{\circ}$
N	پیکان شکل	۴	۰/۴	۱۲	بالا و پایین
O	استوانه‌ای شکل	۲	۰/۴	۱۲	-
R	Y	۲	۰/۴	۱۲	$\theta = 30^{\circ}$
S	Y	۲	۰/۴	۱۲	$\theta = 60^{\circ}$

\* زاویه لبه بالائی مانعهای زاویه دار اشاره شده در شکل ۲ است.

شکل ۵- ابعاد یک مانع T شکل با یک پخش کننده با  $N=7$  و فرکانس طراحی  $f_r = 400 \text{ Hz}$ 

- تعداد شیارها هفت عدد میباشد ولی در شکل بنظر می‌آید دلیل آن اینست که در پخش کننده‌های نوع QRD عمق یکی از شیارها همیشه صفر است.

عرض شیار "w" بیشترین عمق  $d$  و همچنین  $n_{\max}$  بیشترین تعداد شیارها در ترتیب قرارگیری  $N=7 \bmod N$  میباشد. بنابراین برای یک QRD با عرض شیار ۱۲ سانتی متر، باند فرکانسی موثر عبارت خواهد بود از محدوده فرکانس طراحی تا حدود  $1/4 \text{ kHz}$  که در کاربردهای محیطی محدوده بسیار خوبی بشمار میرود.

روی مانها مورد بررسی قرار گیرند. جزئیات مانعهای صوتی شیاردار مختلف استفاده شده در این تحقیق در جدول شماره ۱ آرائه گردیده اند. مشخصات یکی از مانعهای شیاردار بنام مانع مدل G در شکل ۵ نشان داده شده و بقیه مانعها در چارچوبی شبیه این مانع قرار گرفته اند. عمیق‌ترین شیار در بین مانعهای شیاردار طراحی شده ۰.۲۴۵ متر بوده که مربوط به مانع مدل G با فرکانس طراحی  $400 \text{ Hz}$  است. بمنظور بررسی افزایش کارآئی و تعیین مانعهای ارائه شده، نتایج بدست آمده از تمام مانعهای شیاردار یا یک مانع مرجع (مانع AT) یا مانع T شکل جاذب دار مقایسه میگردند. لازم بذکر است که بمنظور تعیین عمق شیارها با توجه به فرکانس طراحی از معادله ذیل استفاده گردیده است:

$$d_n = \frac{c (n^2 \bmod N)}{N (2f_r)} \quad (5)$$

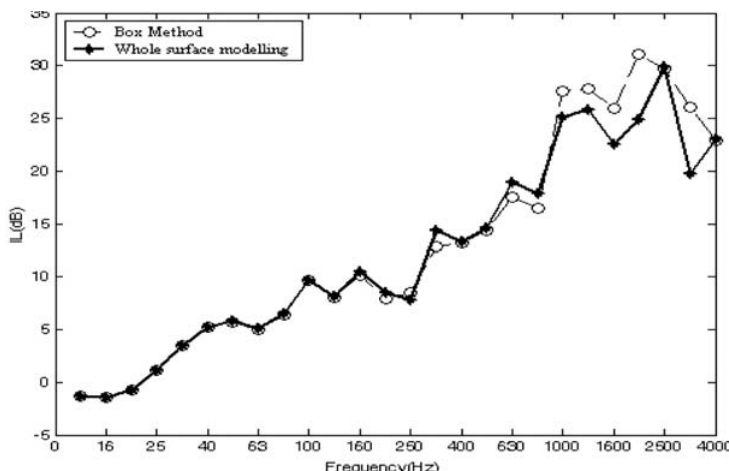
$n$  یک شمارنده است،  $N$  عدد اول (تعداد شیارها) و  $f_r$  فرکانس طراحی است.

طیف موثر سطوح شیاردار (QRD) را نیز میتوان با استفاده از روش زیر بطور تقریبی بدست آورد.

$$\lambda_{\max} \approx \frac{2Nd_{\max}}{n_{\max}}; \lambda_{\min} \approx 2w \quad (6)$$

**مدل سازی تمام سطوح**  
روش دقیق و استاندارد شبیه سازی در واقع مدل سازی تمام سطوح است در حالی که در این تحقیق بجای مدل سازی تمام سطوح (Whole surface modeling) از روش آسان و سریع جعبه های با امپدانس های متغیر (Box Method) استفاده شده است. لذا قبل از هرچیز ضروری بمنظور میرسد که دقت روش مورد استفاده در این تحقیق با استفاده از روش دقیق و استاندارد مدل سازی تمام سطح، ارزیابی گردد. بهمین دلیل یکی از مانعهای شیاردار انتخاب و هر دو مدل شبیه سازی روی آن تست گردید. نتایج این بررسی در شکل ۶ آرائه گردیده است.

شکل ۶- مقایسه نتایج بین دو روش شبیه سازی برای مانع مدل G و قتنی گیرنده در فاصله ۵۰ متری مانع روی زمین قرار دارد



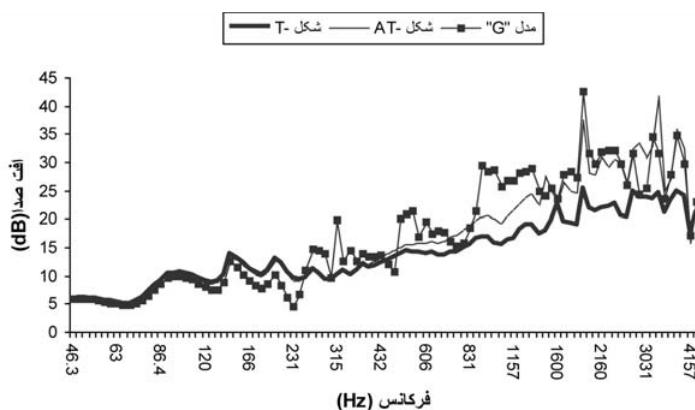
### سطوح شیاردار (QRD) روی مانعهای با شکلهای مختلف

بمنظور بررسی اثر سطوح پخش کننده شیاردار روی مانعهای صوتی باشکال مختلف، پخش کننده (QRD) با فرکانس ۴۰۰ هرتز (فرکانس موثر بین  $1/4$  کیلو هرتز) بعنوان نمونه انتخاب و عملکرد آنها روی مانعهای باشکال مختلف تعیین و با مانع معادل جاذیشان بشرح زیر مقایسه گردیدند.

**الف: QRD روی مانعهای T شکل**  
شکل شماره ۷ عملکرد سه مانع T شکل با

همانگونه که از شکل ۶ مشهود است در محدوده بسیار وسیع فرکانسی مدل جعبه های با امپدانس متغیر با دقیق بسیار خوب عمل مینمایند. با این تفاوت که مدل استفاده در این تحقیق بسیار سریعتر از مدل استاندارد بوده ولذا محقق را قادر می سازد تا در زمان یکسان مدل های بسیار بیشتری را مورد مطالعه قرار دهد. البته این روش در فرکانس های خارج از محدوده فرکانسی پخش کننده صوتی دارای خطای معنی دار است. روش فوق (Box Method) در یک مقیاس آزمایشگاهی  $1/4$  نیز مورد تایید قرار گرفته که از ذکر جزئیات آن در این مقاله خودداری می شود.

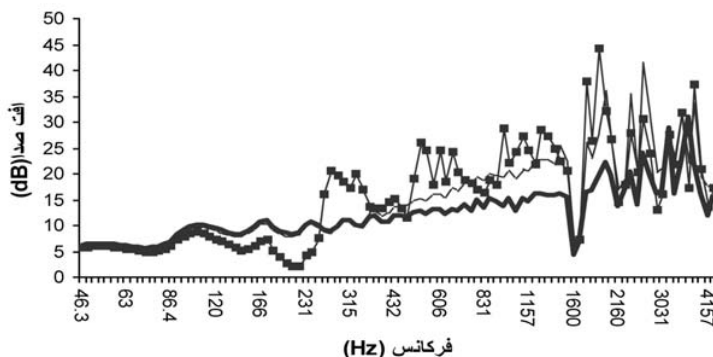
شکل ۷- نتایج کاربرد QRD با فرکانس طراحی ۴۰۰ هرتز روی مانع T شکل در فاصله ۵۰ متری روی سطح زمین در مراکز باندهای  $1/1$  اکتاویاند. (برای مقایسه بهتر نتایج مانع T شکل جاذب دار نیز ارائه گردیده است)



## کارآئی مانع‌های صوتی با استفاده از سطوح ...

شکل-۸-نتایج کاربرد QRD با فرکانس طراحی ۴۰۰ هرتز روی مانع استوانه‌ای شکل در فاصله ۵۰ متری روی سطح زمین در مراکز باندهای ۱/۱۵ اکتاو باند. (برای مقایسه بهتر نتایج مانع استوانه‌ای شکل جاذب دار نیز ارائه گردیده است)

مدل "O" —■— استوانه‌ای شکل جاذب دار ——— استوانه‌ای شکل



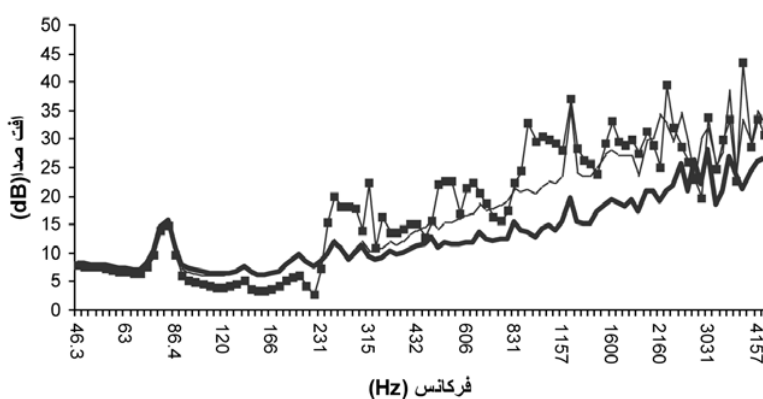
اینکه عملکرد این مانع شیار دار در فرکانس‌های مختلف کاملاً اختیابی است، به این معنی که در برخی فرکانسها همچون ۳۵، ۶۳۰ و ۱۰۰۰ هرتز بهترین کارآئی و در برخی فرکانسها همچون فرکانس‌های پایینتر از ۳۱۵ و بالاتر از ۲ کیلو هرتز، عملکرد آن در بعضی موارد حتی از مانع معادل صلب هم کمتر است. در این نوع مانع گرچه فرکانس‌های موثر پخش کننده مورد استفاده از ۴۰۰ هرتز شروع می‌شود ولی عملکرد آن در مانع شیار دار از ۱/۳ اکتاو باند پایینتر از آن آغاز گردیده و اثر آن تا ۱/۳ اکتاو باند پایینتر از حد بالای فرکانس موثر پخش کننده ادامه می‌یابد.

مشخصات لبه بالائی متفاوت را با یکدیگر مقایسه می‌کند.

همانگونه که از شکل دیده می‌شود، تقریباً در همه فرکانسها کارآئی مانع T شکل جاذب دار (شکل-AT) از مانع معادل صلب خود (شکل-T) بیشتر است. البته با افزایش فرکانس همانگونه که انتظار می‌رود عملکرد جذب صوتی و در نتیجه عملکرد مانع جاذب دار افزایش می‌یابد. مانع T شکل شیار دار (QRD) با فرکانس طراحی ۴۰۰ هرتز) همانگونه که از شکل دیده می‌شود در طیف وسیع فرکانسی کارآئی بهتری نسبت به مانع جاذب دار از خود نشان میدهد. نکته قابل ذکر

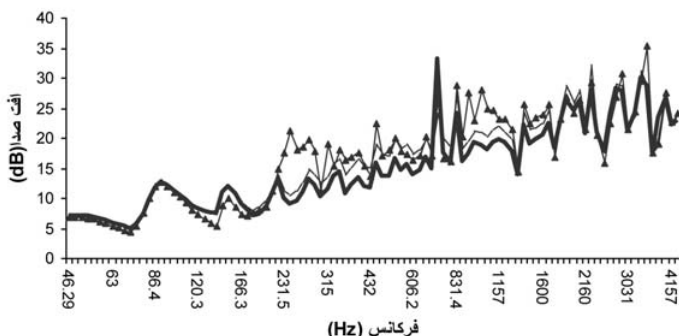
شکل-۹-نتایج کاربرد QRD با فرکانس طراحی ۴۰۰ هرتز روی مانع پیکان شکل در فاصله ۵۰ متری روی سطح زمین در مراکز باندهای ۱/۱۵ اکتاو باند. (برای مقایسه بهتر نتایج مانع پیکان شکل جاذب دار نیز ارائه گردیده است)

مدل "M" —■— پیکان شکل جاذب دار ——— پیکان شکل



شکل ۱۰- نتایج کاربرد QRD با فرکانس طراحی مانع ۴۰۰ هرتز روی مانع ۵۰ متری روى سطح زمین در مراکز باندهای ۱/۱۵ اکتاو باند.  
(برای مقایسه بهتر نتایج

شکل "S" — شکل "AY" — شکل "T"



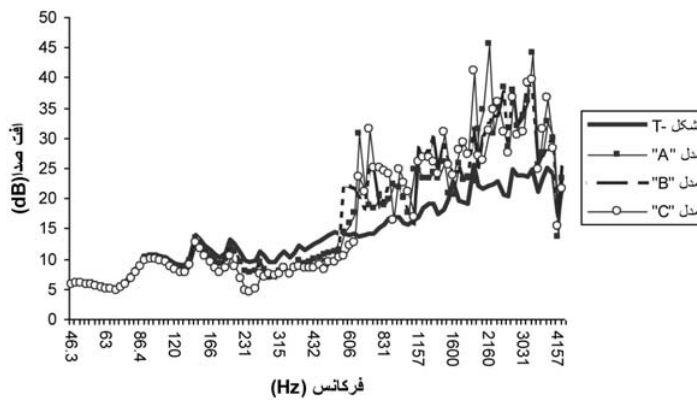
کارآئی این مانعها را نسبت به نوع مشابه صلب و حتی جاذب دار بطور موثری افزایش دهد. در این نوع مانع اولین پیک در فرکانس ۲۵۰ هرتز دیده میشود و پیکهای فرکانس‌های ۳۱۵، ۱۰۰۰ و ۱۲۵۰ نیز قابل ملاحظه میباشند.

**د: QRD روی مانعهای Y شکل**  
همانطورکه از شکل ۱۰ دیده میشود، گرچه در این نوع مانع نیز کارآئی مانع شیار دار و جاذب نسبت به مانع معادل صلبشان بیشتر است ولی منحنی های عملکرد آنها به هم دیگر نزدیک تر است. بعارتی میزان تاثیر مواد جاذب و همچنین سطوح شیار دار بالنسبه در این نوع مانع کمتر است. در این نوع مانع نیز کارآئی نوع شیار دار در فرکانس‌های ۲۵۰، ۳۱۵، ۶۳۰ و ۱۰۰۰

**ب: QRD روی مانعهای استوانه‌ای شکل**  
نحوه عملکرد سطوح شیار دار روی مانعهای استوانه‌ای شکل تقریباً شبیه عملکرد آنها روی مانعهای T شکل است. همانطورکه از شکل ۸ دیده میشود در این نوع موانع نیز طیف عملکرد این مانعهای در محدوده ۱/۳ اکتاو باند کمتر از محدوده فرکانس‌های موثر سطح پخش کننده مورد استفاده بود و همچنین نقاط بیشینه عملکرد در این نوع مانع در فرکانس‌های ۳۱۵ و ۶۳۰ هرتز میباشد.

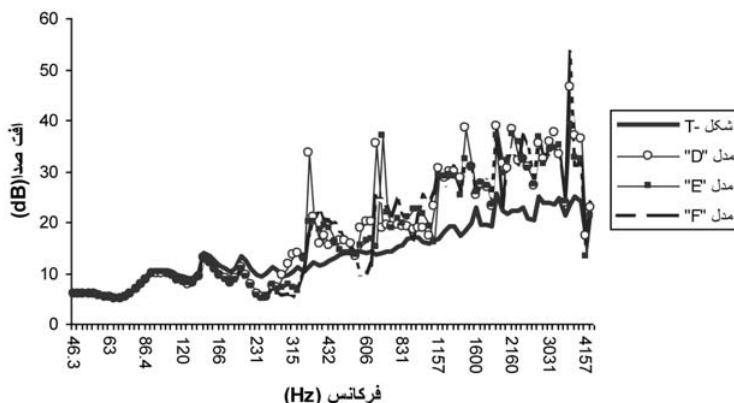
**ج: QRD روی مانعهای پیکان شکل**  
استفاده از سطوح شیار دار روی مانعهای پیکان شکل همانطورکه از شکل ۹ دیده میشود قادر است

شکل ۱۱- بیتاب افت صداررسه مانع پخش کننده با تعداد QRD های ۱، ۲ و ۶ و فرکانس طراحی ۱۰۰۰ هرتز در فاصله ۵ متری روى سطح زمین در مراکز باندهای ۱/۱۵ اکتاو باند. (برای مقایسه بهتر نتایج مانع T شکل صلب نیز ارائه گردیده است)





شکل ۱۲- بیناب افت صدا در سه مانع پخش کننده با تعداد QRD های ۱، ۲ و ۶ و فرکانس طراحی ۵۰۰ هرتز در فاصله ۵۰ متری روی سطح زمین در مراکز باندهای ۱/۱۵ اکتاو باند. (برای مقایسه بهتر نتایج مانع T شکل صلب نیز ارائه گردیده است)



مواجهه موج صوتی با سطوح شیار دار توجیه نمود.

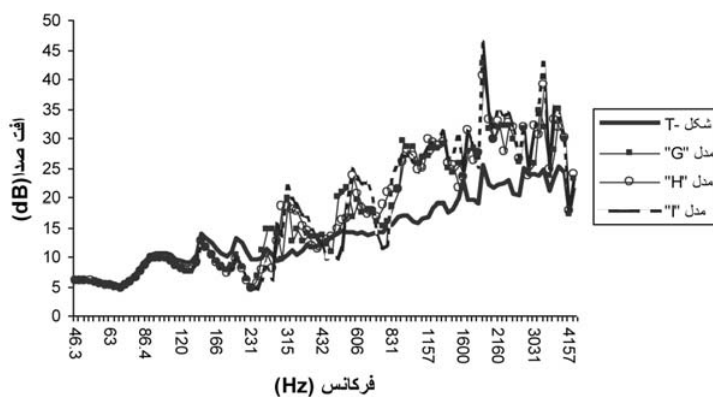
هرتزنسبت به مانع معادل جاذب دار افزایش پیدا نموده است.

**مانعهای شیار دار (QRD)** با طراحیهای مختلف بمنظور مطالعه اثر فرکانس طراحی (یا عمق شیارها) در سطوح پخش کننده روی مانعهای T شکل، سه فرکانس طراحی ۴۰۰، ۵۰۰ و ۱۰۰۰ هرتز بعنوان نمونه مورد بررسی قرار گرفتند. علت تمرکز روی مانعهای T شکل نیز بالا بودن عملکرد آنها در مقایسه با سایر موانع مورد بررسی می باشد.

**الف: فرکانس ۱۰۰۰ هرتز**  
در شکل ۱۱ کارآئی سه مانع شیار دار T شکل با فرکانس طراحی ۱۰۰۰ هرتز با مانع صلب معادل خود مقایسه گردیده اند. همانطور که از جدول ۱ نیز

بانگاه اجمالی به اشکال شماره ۷ تا ۱۰ میتوان نتیجه گرفت که میزان تأثیر استفاده از سطوح شیار دار روی مانعهای T شکل به اندازه تاثیر آنها روی سایر سطوح نمی باشد. که این امر را میتوان با میزان تماس کم موج صوتی با سطوح مورد استفاده در لبه بالائی این مانع توجیه نمود. بهترین و بالاتری عملکرد سطوح شیار دار در موانع پیکان شکل و T شکل دیده میشود. در مانع پیکان شکل میزان مصالح مورد استفاده از مانع T شکل بیشتر بوده و عبارتی سطح در معرض موج صوتی پراش شده روی لبه بالائی در مانع پیکان شکل از مانع T شکل بیشتر میباشد. لذا برآحتی میتوان بالا بودن میزان عملکرد مانع پیکان شکل را با بالا بودن

شکل ۱۳- بیناب افت صدا در سه مانع پخش کننده با تعداد QRD های ۱، ۲ و ۶ و فرکانس طراحی ۴۰۰ هرتز در فاصله ۵۰ متری روی سطح زمین در مراکز باندهای ۱/۱۵ اکتاو باند. (برای مقایسه بهتر نتایج مانع T شکل صلب نیز ارائه گردیده است)



ب: فرکانس ۵۰۰ هرتز در این بررسی نیز کارآئی سه مانع شیار دار با فرکانس طراحی ۵۰۰ هرتز ولی با تعداد QRD های متفاوت با یکدیگر مقایسه گردیده اند که نتایج در شکل ۱۲ نشان داده شده است.

در این دسته از موانع شیار دار نیز کارآئی کلیه سطوح شیار دار در منطقه وسیع فرکانسی کارآئی آکوستیکی از نوع معادل صلب خود بطور محسوسی بیشترند ولی همانطور که در مانعهای شیار دار با فرکانس طراحی ۱۰۰۰ هرتز نیز شاهد بودیم در این نوع

مشخص است، تعداد QRD در مانع مدل C، ۳ برابر تعداد QRD در مانع B است. همچنین تعداد QRD در مانع B، دو برابر مانع A می باشد.

گرچه هر سه مانع شیار دار تا حدودی کارآئی مانع صلب را افزایش داده اند ولی تغییر قابل ملاحظه ای در بین مانعهای با QRD های متفاوت دیده نمی شود. اولین فرکانس موثر در این مانعها ۸۰۰ هرتز بوده که ۱/۳ اکتاو باند پایینتر از حد پایین فرکانس طراحی خود می باشد.

جدول ۲- میانگین افت کلی در شبکه A مربوط به مانع صوتی مختلف در ۹ گیرنده مختلف.

میانگین افت کلی در ۹ گیرنده بر حسب (dB(A))		نوع مانع
$\Delta IL$	متوجه	
-۱/۲	۱۶/۹	T
-۴/۳	۱۳/۸	استوانه ای شکل
-۳/۴	۱۴/۷	پیکانی شکل
-۱/۰	۱۷/۱	Y
۰/۰	۱۸/۱	T شکل جاذب دار (مانع مرجع)*
-۲/۶	۱۵/۵	استوانه ای شکل جاذب دار
* ماده جاذب استفاده شده در کلیه مانع های جاذب دار با ضخامت ۰/۲۴۴۵ متر (بیشترین عمق شیار مورد استفاده در این تحقیق) و مقاومت شاره ای:	۱۷/۲	پیکان شکل جاذب دار
$\sigma = 20000 \text{ Rayl (MKS)}$	۱۸/۸	Y شکل جاذب دار
بوده است.	۱۶/۶	A مدل
-۰/۹	۱۶/۳	B مدل
۰/۷	۱۸/۸	C مدل
-۰/۶	۱۶/۸	D مدل
-۱/۸	۱۶/۷	E مدل
-۱/۴	۱۶/۷	F مدل
-۲/۱	۱۶/۰	G مدل
۰/۹	۱۹/۰	H مدل
۰/۱	۱۸/۳	I مدل
-۱/۶	۱۶/۶	L مدل
-۱/۶	۱۶/۵	M مدل
-۱/۲	۱۷/۰	N مدل
-۱/۲	۱۷/۰	O مدل
-۳/۶	۱۴/۵	R مدل
۰/۷	۱۸/۸	S مدل
۰/۹	۱۹/۰	



محاسبه گردیدند. میزان میانگین افت کلی نیز با استفاده از فرمول ذیل بدست می‌آید:

$$Lp_a = 10 \log \left( \frac{\sum_{i=1}^n 10^{L_i/10}}{n} \right), \quad (7)$$

در فرمول فوق، آتراف فشار صوت در شبکه A در محل گیرنده‌ام می‌باشد.

**جدول شماره ۲** میزان میانگین افت کلی را برای تمام موانع طراحی شده را در شبکه A ارائه نموده است. در این جدول مقادیر افزایش کارآئی توسط هر مانع T نسبت به مانع مرجع می‌باشد. (مانع مرجع یک مانع T شکل جاذب دار است). مقادیر مثبت نشان داده شده افزایش کارآئی و مقادیر منفی نشانده کاهش کارآئی می‌باشد.

از جدول ۲ میتوان دریافت که استفاده از سطوح شیار دار در تمام سطوح کارآئی مانع را نسبت به مانع صلب معادل بهبود بخشیده است. در این میان کارآئی مانعهای A, R, G, S، حتی از مانع مرجع (مانع مرجع T) نیز بیشتر است. همچنین میتوان از جدول فوق دریافت که کاهش فرکانس طراحی در مانعهای شیار دار میتواند کارآئی کلی مانع را در شبکه A بطور محسوسی افزایش دهد. گرچه بر اساس یافته‌های مطالعات قبلی (۱۳) کاهش قطر شیارها خاصیت جذب آکوستیکی سطوح شیار دار را افزایش می‌دهد ولی بعنوان مثال میزان افت کلی در مانع G با قطر شیار ۱۲ سانتی متر از  $19 \text{ dB(A)}$  به  $16 \text{ dB(A)}$  می‌باشد. در مانع A با قطر ۲ سانتی متر، کاهش پیدا کرده است. همانطور که از مقایسه عملکرد دو مانع M و N میتوان فهمید، استفاده از سطوح شیار دار در لبه زیرین مانع پیکان شکل تاثیری در افزایش کارآئی مانع ندارد.

افزایش زاویه لبه بالائی مانعهای Y شکل تا حدودی باعث افزایش کارآئی آنها می‌گردد که این امر بدلیل افزایش فاصله غیر مستقیم بین منبع و گیرنده در اثر افزایش زاویه می‌باشد. بالا بودن کارآئی سطوح شیار دار روی مانع T شکل در نتایج قبلی هم نشان داده شد ولی افزایش کارآئی کلی در مانع Y شکل در مانعهای مدل R و S با نتایج بخشهای قبلی همخوانی ندارد. علت

نیز تغییر در تعداد QRD تاثیر قابل ملاحظه‌ای در کارآئی مانع ندارد. بعبارتی میزان تاثیر فرکانس طراحی از تعداد شیار مورد استفاده بسیار بیشتر است. اولین فرکانس موثر ۴۰۰ هرتز بوده که  $1/3$  اکتاو باند پایینتر از حد پایین فرکانس موثر سطوح پخش کننده است.

### ج: فرکانس ۴۰۰ هرتز

تحقیق مشابهی نیز در خصوص تاثیر کاهش فرکانس طراحی از ۵۰۰ هرتز به ۴۰۰ هرتز نیز انجام گردید که نتایج آن در شکل ۱۳ نشان داده شده است. نتایج این قسمت نیز بسیار شبیه دو قسمت قبل است. نکته قابل توجه اینکه با کاهش فرکانس طراحی، فرکانس موثر نیز به سمت فرکانس‌های پایینتر سوق داده شده است. بعبارتی رابطه نزدیک بین فرکانس طراحی و عملکرد غالب مانعهای شیاردار در سه شکل فوق برآحتی قابل مشاهده است. مجدداً در این دسته از مانعها نیز غلبه تاثیر فرکانس طراحی بر تعداد QRD‌های مورد استفاده در سطح نمایان گردید. لازم به تذکر است که گرچه افزایش تعداد شیار در واحد طول فوقانی بمعنی افزایش تعداد شیار در واحد طول میباشد که این نکته با افزایش تعداد شیار به ازاء هر QRD نباید اشتباہ گرفته شود. در تحقیق فوق تعداد شیار در هر QRD مورد استفاده ثابت و برابر ۷ بوده است. بررسی اثر تعداد شیار در هر واحد QRD مورد استفاده میتواند موضوع تحقیقات آینده در این زمینه بشمار رود.

### افت کلی مانعها

همانگونه که از بخش‌های قبل ملاحظه گردید، سطوح شیار دار با طراحیهای مختلف کارآئی مانع با اشکال متفاوت را بطور محسوسی در محدوده فرکانس موثر خود افزایش می‌دهند بگونه‌ای که تاثیر سطوح شیاردار در فرکانس‌های مختلف متفاوت بوده ولذا میزان بهبود کارآئی کلی مانعها در آن‌ها آشکار نمی‌باشد. لذا برای درک بهتر از عملکرد کلی مانعهای طراحی شده اولاً تعداد گیرنده‌ها را از یک نقطه به ۹ نقطه افزایش داده و با استفاده از استاندارد BS EN 1998-1793-1 (۱۳) میزان افت کلی صدادر شبکه A در محل گیرنده شامل فواصل ۲۰، ۵۰ و ۱۰۰ متری در ارتفاعات صفر،  $1/5$  و  $3$  متر بالای سطح زمین

جدول ۳- مقایسه افت کلی مانعهای مختلف در شبکه A. (a) مانع T شکل، (b) مانع استوانه‌ای شکل، (c) مانع پیکان شکل، (d) مانع Y شکل.

مدل ۰		استوانه‌ای شکل جاذب دار		استوانه‌ای شکل		فاصله از مانع
$\Delta IL$	میانگین	$\Delta IL$	میانگین	$\Delta IL$	میانگین	(متر)
-۰/۴	۱۳/۲	۱/۱	۱۴/۶	۰/۰	۱۳/۶	۲۰
۱/۴	۱۲/۵	۲/۰	۱۳/۱	۰/۰	۱۱/۱	۵۰
۱/۴	۱۲/۴	۱/۹	۱۲/۹	۰/۰	۱۱/۰	۱۰۰

مدل G		T-شکل جاذب دار (مانع مرجع)		T-شکل		فاصله از مانع
$\Delta IL$	میانگین	$\Delta IL$	میانگین	* $\Delta IL$	میانگین	
۲/۳	۱۸/۲	۱/۴	۱۷/۲	۰/۰	۱۵/۹	۲۰
۲/۴	۱۷/۵	۱/۴	۱۶/۵	۰/۰	۱۵/۱	۵۰
۲/۴	۱۷/۳	۱/۴	۱۶/۲	۰/۰	۱۴/۹	۱۰۰

مدل M		پیکان شکل جاذب دار		پیکان شکل		فاصله از مانع
$\Delta IL$	میانگین	$\Delta IL$	میانگین	$\Delta IL$	میانگین	(متر)
۲/۹	۱۶/۳	۲/۱	۱۶/۵	۰/۰	۱۳/۴	۲۰
۲/۹	۱۵/۸	۲/۹	۱۵/۸	۰/۰	۱۲/۹	۵۰
۲/۹	۱۵/۷	۲/۸	۱۵/۶	۰/۰	۱۲/۸	۱۰۰

مدل S		۲-شکل جاذب دار		۲-شکل		فاصله از مانع
$\Delta IL$	میانگین	$\Delta IL$	میانگین	$\Delta IL$	میانگین	(متر)
۲/۱	۱۸/۴	۲/۱	۱۸/۳	۰/۰	۱۶/۳	۲۰
۲/۰	۱۷/۲	۱/۹	۱۷/۱	۰/۰	۱۵/۲	۵۰
۲/۱	۱۷/۰	۱/۸	۱۶/۸	۰/۰	۱۵/۰	۱۰۰

\*  $\Delta IL$  در این جدول اختلاف عملکرد مانعها با مانع معادل صلبشان می‌باشد.

در شبکه A نسبت به نوع صلب خود افزایش داده است در حالیکه این رقم برای مانع Y شکل حدود ۲ دسی بل است.

کارآئی مانعهای پخش کننده شیاردار (QRD) در ناحیه سایه صوتی بمنظور درک بهتر از عملکرد مانعهای شیاردار افت کلی مانع مدل G و مانع مدل M در ۴۰۰ گیرنده مختلف در فواصل بین ۲ تا ۵۰ متر از روی سطح زمین تا ارتفاع ۸ متری با مانعهای معادل جاذب خود در اشکال ۱۴ و ۱۵ مقایسه گردیده‌اند.

همانطورکه از شکل ۱۴ دیده می‌شود، مانع شیاردار

این امر هم اینست که کارآئی این مانع با دو لبه ۱ متری با یک مانع T شکل با یک لبه یک متری مقایسه گردیده است. لذا برای بررسی بهتر و مقایسه صحیح تر بین مانع مختلف، افت کلی مانعهای هم شکل در فواصل مختلف روی زمین در جدول ۳ با یکدیگر مقایسه گردیده‌اند. همانطورکه از این جداول نیز دیده می‌شود، سطوح شیاردار در تمام اشکال کارآئی مانع صلب خود را افزایش داده‌اند، البته میزان افزایش کارآئی در انواع مختلف مانعها متفاوت است. بعنوان مثال مانع پیکان شکل در تمام فواصل افت کلی را بمیزان ۲/۹ دسی بل

مانع در ارتفاعات بالاتر از ۳ متر) کارآئی این مانع از مانع معادل جاذب کمتر است. این نکته شاید به این دلیل باشد که سطوح پخش کننده بخشی از انرژی را بسمت بالا پخش می‌کنند، که البته این امر نیاز به تحقیق بیشتر دارد.

مانع شیاردار M همانطور که از شکل ۱۵ می‌توان دید در مقایسه با مانع پیکان شکل جاذب‌دار در فواصل دور و در ارتفاعات بالای ۳ متر کارآئی بهتری دارد. این مانع قادر است بین ۱.۵ تا ۲ دسی بل در شبکه A افت کلی مانع معادل جاذب‌دار را در دور دست در ارتفاعات ۶ تا ۸ متر بهبود ببخشد. در این مانع بر عکس مانع مدل G میزان بهبود کارآئی در سطح زمین تقرباً صفر و یا حتی منفی است. این نکته هم میتواند بدلیل میزان بیشتر انرژی پخش شده بسمت بالا توسط این مانع باشد که خود میتواند موضوع یک تحقیق جداگانه باشد.

### بحث

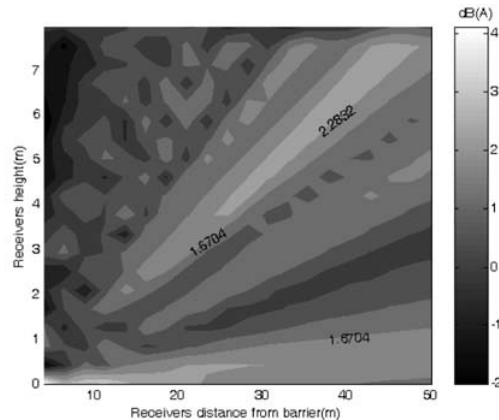
کاهش صدا توسط مانعهای شیار دار (QRD) با استفاده از روش شبیه‌سازی دو بعدی (BEM) مورد بررسی قرار گرفت. افت کلی صدا در یک رینج نسبتاً وسیعی از محل گیرنده‌های صوتی با استفاده از طیف شبکه A سروصدای ترافیک در ۱/۱۵ آکتاو باند از ۵۰ تا ۴۰۰۰ هرتز نیز اندازه‌گیری شد. کارآئی سه جنس مختلف (صلب، جاذب و شیار دار) برای سطوح بالائی اشکال مختلف Y, T, Arrow (پیکان) و Cylinder (استوانه ای) مورد ارزیابی قرار گرفت. اثرات مانعهای شیار دار با مانعهای معادل جاذب و همچنین مانع جاذب مرجع مورد مقایسه قرار گرفت.

### نتیجه گیری

روش شبیه‌سازی دو بعدی با جعبه‌های با امپدانس متغیر می‌تواند روش سریع و قابل اعتمادی برای محاسبات مانعهای شیار دار در رینج موثر فرکانسی آنان باشد.

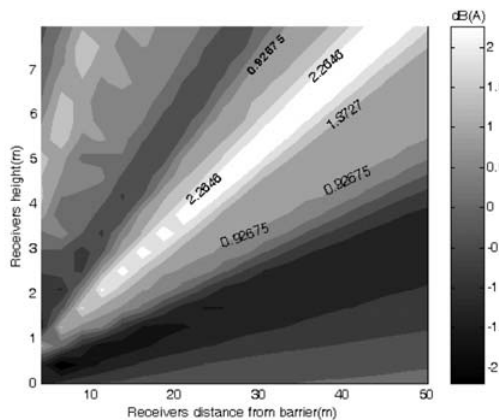
همانگونه که در تحقیقات قبلی ثابت شده، بکاربردن مواد جاذب در سطوح فوقانی مانع قادر است کارآئی آنرا بمیزان قابل توجهی افزایش دهد. در این خصوص بهترین شکل برای بکارگیری مواد جاذب مانعهای پیکان شکل با  $2/9 \text{dB(A)}$  افزایش در فاصله ۵۰ متری

شکل ۱۴- میزان اختلاف افت کلی در شبکه A مانع مدل G نسبت به مانع مرجع (مانع T شکل جاذب دار) (محور افقی: فاصله گیرنده از مانع، محور عمودی: ارتفاع گیرنده)



G در دو ناحیه مشخص کارآئی بهتری نسبت به مانع معادل جاذب خود دارا می‌باشد. این دو ناحیه شامل یک نواری نزدیک به سطح زمین و دیگری در یک میانی که از نزدیکی سطح زمین در فواصل حدود ۱۰ متری شروع شده و با افزایش فاصله به ارتفاع آن افزوده می‌شود. میزان بهبود کارآئی در فواصل دور در ارتفاعات ۶ تا ۸ متر به حدود ۳۰.۵ دسی بل A نیز میرسد. این در حالیست که میزان بهبود کارآئی در سطوح نزدیک به زمین در فواصل دورتر از ۱۰ متر تقرباً یکسان است. کارآئی این مانع در فواصل نزدیک مخصوصاً در ارتفاعات ضعیف است و همانطور که از شکل دیده می‌شود در برخی نواحی (خیلی نزدیک به

شکل ۱۵- میزان اختلاف افت کلی در شبکه A مانع مدل M نسبت به مانع جاذب معادل خود (مانع پیکان شکل جاذب دار) (محور افقی: فاصله گیرنده از مانع و محور عمودی: ارتفاع گیرنده)



## مانع

1. **Hothersall DC, Chandler-Wilde SN, Hajmirzae MN.** "Efficiency of single noise barriers", Journal of Sound Vibration, 146(2), pp.303-322, 1991
2. **Watts GR, Crombie DH, Hothersall DC.** "Acoustic performance of new design of traffic noise barriers: Full scale tests", Journal of Sound and Vibration 177 , 289-305, 1994.
3. **May DN, Osman MM.**, "Highway noise barriers: New shapes", Journal of Sound and Vibration 71,73-101,1980.
4. **Hothersall DC, Crombie DH, Chandler-Wilde SN.** "The performance of T-shape profile and associated noise barriers", Applied Acoustics 32(4), pp.269-281, 1991.
5. **Crombie DH, Hothersall DC, Chandler-Wilde SN.** "Multiple-edge noise barrier", Applied Acoustics 44(4), pp.353-367, 1995.
6. **Fujiwara K, Hothersall DC, Kim C.** "Noise barriers with reactive surfaces", Applied Acoustics, 53 (4), pp. 255-272, 1998.
7. **Thorsson PJ**, "Optimization of low-height noise barriers using the equivalent source method", Acustica - Acta Acustica 86, 811-820, 2000.
8. **Thorsson PJ**, "Combined effects of admittance optimisation on both barrier and ground", Applied Acoustics 64, 693-711, 2003.
9. **Schroeder MR**, "Diffuse sound reflection by maximum-length sequences", Journal of the Acoustical Society of America 57, 149-150, 1975.
10. **Trevor J. Cox TJ, Lam YW**, "Prediction and evaluation of the scattering from quadratic residue diffusers", J. Acoust. Soc. Am. 95(1), pp.297-305, 1994.
11. **Delany M. E, Bazely E. N.** "Acoustical properties of fibrous absorbent material", Applied Acoustics 3(2), pp.105-116, 1970.
12. **Wu T, Cox TJ., Lam YW.** "From a profiled diffuser to an optimised absorber", J. Acoust. Soc. Am. 108 (2), pp.643-650, 2000.
13. Road traffic noise reducing devices- Test method for determining the acoustic performance, Part 3. Normalized traffic noise spectrum. SS-EN No:1793-3. 1998

از مانع میباشد. علت این تاثیر را میتوان سطح تماس بالای ماده جاذب در مسیر انتقال موج صوتی از منبع تاگیرنده دانست.

تمام مانعهای شیاردار قادر هستند که کارآئی مانع را در یک محدوده فرکانسی خاص بسته به فرکانس طراحی افزایش دهند. همچنین میتوان محدوده اثر گذاری مفید را با تغییر در فرکانس طراحی پخش کننده به فرکانس‌های پایین یا بالا جابجا نمود. افت ایجاد شده توسط مانعهای شیاردار به فرکانس موج صوتی وابسته است و آنهم بشدت به فرکانس طراحی پخش کننده وابسته میباشد. بطور کلی مانعهای شیاردار T و T شکل قادر هستند کارآئی مانع را حتی از مانع جاذب معادل هم بالاتر ببرد.

در بین سه فرکانس طراحی (۴۰۰، ۵۰۰، ۱۰۰۰ هرتز) موثرترین طراحی مربوط به سطوح پخش کننده با فرکانس طراحی ۴۰۰ هرتز میباشد. در واقع میتوان با پایین آوردن فرکانس طراحی با ثابت نگه داشتن حد بالای فرکانس (عرض شیار)، طول باند فرکانسی موثر و در نتیجه کارآئی مانع را افزایش داد.

بکار بردن یک پخش کننده با فرکانس طراحی ۴۰۰ هرتز روی مانع T شکل کارآئی مانع را در مقایسه با یک جاذب معادل بمیزان ۰.۹ dB(A) افزایش میدهد. در حالی که همین پخش کننده روی مانع استوانه ای (Cylinder) کارآئی مانع جاذب معادل را به اندازه یک dB(A) کاهش میدهد. با توجه به جمیع جوابات بهترین شکل برای بکارگیری پخش کننده های صوتی، مانع T شکل و بدترین آنها مانع استوانه ای (Cylinder) شکل میباشد.

کاهش عرض شیارهای پخش کننده صوتی گرچه باعث افزایش خاصیت جذب کننده سطوح شیار دار می شود ولی تاثیری در افزایش افت کلی مانعهای شیاردار در شبکه A ندارد.

مانع T شکل مجهز به سطوح شیار دار با فرکانس طراحی ۴۰۰ هرتز (مانع مدل G) در فواصل دورتر از ۱۰ متر در نواحی نزدیک به زمین بهتر از مانع جاذب معادل است. در حالی که همین مانع در فواصل نزدیک در ارتفاعات بیشتر از ۳ متر کارآئی کمتری نسبت به مانع جاذب معادل دارد.